

<sup>155</sup>Gd(<sup>32</sup>S,4n $\gamma$ ) E=159 MeV **1995La10**

Type	Author	History Citation	Literature Cutoff Date
Full Evaluation	Coral M. Baglin	NDS 134, 149 (2016)	15-Apr-2015

**1995La10:** E=159 MeV; 91% enriched <sup>155</sup>Gd targets (thin or Pb-backed); CAESAR detector array (6 Compton-suppressed HPGe detectors) for  $\gamma$  and x detection,  $\theta=48^\circ, 97^\circ$  and  $145^\circ$ ; measured  $E_\gamma, I_\gamma, \gamma\gamma$  coin ( $\pm 432$  ns overlap),  $\gamma(\theta),$  DCO ratios.

<sup>183</sup>Hg Levels

E(level) <sup>†</sup>	J $\pi$ <sup>‡</sup>	E(level) <sup>†</sup>	J $\pi$ <sup>‡</sup>	E(level) <sup>†</sup>	J $\pi$ <sup>‡</sup>	E(level) <sup>†</sup>	J $\pi$ <sup>‡</sup>
0.0 <sup>#</sup>	1/2 <sup>-</sup>	542.2 <sup>@</sup> 5	(11/2 <sup>-</sup> )	1404.6 <sup>#</sup> 6	21/2 <sup>-</sup>	2582.8+y <sup>a</sup> 5	31/2 <sup>-</sup>
0.0+x <sup>b</sup>	13/2 <sup>+</sup>	577.2 <sup>#</sup> 6	13/2 <sup>-</sup>	1465.8+y <sup>a</sup> 4	23/2 <sup>-</sup>	2873.0+x <sup>d</sup> 6	(35/2 <sup>+</sup> )
0.0+y <sup>a</sup>	7/2 <sup>-</sup>	585.79+y <sup>a</sup> 22	15/2 <sup>-</sup>	1649.8+x <sup>d</sup> 3	27/2 <sup>+</sup>	2879.5+y <sup>&amp;</sup> 5	33/2 <sup>-</sup>
66.8 <sup>@</sup> 3	(3/2 <sup>-</sup> )	700.95+x <sup>d</sup> 19	19/2 <sup>+</sup>	1720.9+y <sup>&amp;</sup> 4	25/2 <sup>-</sup>	3022.2 <sup>@</sup> 8	(31/2 <sup>-</sup> )
86.7 <sup>#</sup> 5	5/2 <sup>-</sup>	779.48+y <sup>&amp;</sup> 25	17/2 <sup>-</sup>	1808.6+x <sup>c</sup> 4	29/2 <sup>+</sup>	3029.2+x <sup>c</sup> 5	(37/2 <sup>+</sup> )
101.6+x <sup>d</sup> 4	(11/2 <sup>+</sup> )	833.04+x <sup>c</sup> 22	21/2 <sup>+</sup>	1848.9 <sup>@</sup> 7	(23/2 <sup>-</sup> )	3102.0 <sup>#</sup> 8	33/2 <sup>-</sup>
104.93+y <sup>&amp;</sup> 16	9/2 <sup>-</sup>	906.2 <sup>@</sup> 5	(15/2 <sup>-</sup> )	1921.4 <sup>#</sup> 7	25/2 <sup>-</sup>	3214.0+y <sup>a</sup> 6	(35/2 <sup>-</sup> )
251.57+y <sup>a</sup> 16	11/2 <sup>-</sup>	953.2 <sup>#</sup> 6	17/2 <sup>-</sup>	1997.7+y <sup>a</sup> 4	27/2 <sup>-</sup>	3520.0+y <sup>&amp;</sup> 7	(37/2 <sup>-</sup> )
261.3 <sup>@</sup> 4	(7/2 <sup>-</sup> )	993.0+y <sup>a</sup> 3	19/2 <sup>-</sup>	2231.7+x <sup>d</sup> 5	31/2 <sup>+</sup>	3565.2+x <sup>d</sup> 9	(39/2 <sup>+</sup> )
285.8 <sup>#</sup> 5	9/2 <sup>-</sup>	1136.55+x <sup>d</sup> 24	23/2 <sup>+</sup>	2276.7+y <sup>&amp;</sup> 4	29/2 <sup>-</sup>	3712.7+x <sup>c</sup> 7	(41/2 <sup>+</sup> )
354.27+x <sup>d</sup> 17	15/2 <sup>+</sup>	1219.5+y <sup>&amp;</sup> 3	21/2 <sup>-</sup>	2391.6+x <sup>c</sup> 4	33/2 <sup>+</sup>	3725.8 <sup>#</sup> 10	(37/2 <sup>-</sup> )
406.93+y <sup>&amp;</sup> 21	13/2 <sup>-</sup>	1287.3+x <sup>c</sup> 3	25/2 <sup>+</sup>	2408.6 <sup>@</sup> 7	(27/2 <sup>-</sup> )	3882.4+y <sup>a</sup> 7	(39/2 <sup>-</sup> )
429.33+x <sup>c</sup> 17	17/2 <sup>+</sup>	1345.0 <sup>@</sup> 6	(19/2 <sup>-</sup> )	2491.9 <sup>#</sup> 7	29/2 <sup>-</sup>	4435.8+x <sup>c</sup> 9	(45/2 <sup>+</sup> )

<sup>†</sup> From least-squares fit to  $E_\gamma$ . from Adopted Levels, Gammas, energy offset x=183 9.

<sup>‡</sup> Authors' values, based on measured  $\gamma$  multipolarity data and deduced band structure.

<sup>#</sup> Band(A): 1/2[521],  $\alpha=+1/2$  band.

<sup>@</sup> Band(a): 1/2[521],  $\alpha=-1/2$  band.

<sup>&</sup> Band(B): 7/2[514],  $\alpha=+1/2$  band.

<sup>a</sup> Band(b): 7/2[514],  $\alpha=-1/2$  band.

<sup>b</sup> Band(C):  $i_{13/2}$  band. Oblate, possibly isomeric, bandhead is the only state observed.

<sup>c</sup> Band(D): 9/2[624],  $\alpha=+1/2$  band.

<sup>d</sup> Band(d): 9/2[624],  $\alpha=-1/2$  band.

$\gamma(^{183}\text{Hg})$

$E_\gamma$	$I_\gamma$	$E_i(\text{level})$	J $\pi_i$	$E_f$	J $\pi_f$	Mult. <sup>†</sup>	Comments
66.8 3	7 3	66.8	(3/2 <sup>-</sup> )	0.0	1/2 <sup>-</sup>		
75		429.33+x	17/2 <sup>+</sup>	354.27+x	15/2 <sup>+</sup>		
87		86.7	5/2 <sup>-</sup>	0.0	1/2 <sup>-</sup>		
104.9 2	6 2	104.93+y	9/2 <sup>-</sup>	0.0+y	7/2 <sup>-</sup>		Mult.: DCO=1.15 27.
131.9 3	3 1	833.04+x	21/2 <sup>+</sup>	700.95+x	19/2 <sup>+</sup>		
146.6 2	29 6	251.57+y	11/2 <sup>-</sup>	104.93+y	9/2 <sup>-</sup>	D	Mult.: DCO=0.79 24.
150.7 4	2 1	1287.3+x	25/2 <sup>+</sup>	1136.55+x	23/2 <sup>+</sup>	D+Q	Mult.: DCO=0.67 25.
155.2 3	7 3	406.93+y	13/2 <sup>-</sup>	251.57+y	11/2 <sup>-</sup>		Mult.: DCO=0.67 26.
174.7 3	4 2	261.3	(7/2 <sup>-</sup> )	86.7	5/2 <sup>-</sup>		
178.8 3	5 2	585.79+y	15/2 <sup>-</sup>	406.93+y	13/2 <sup>-</sup>	D+Q	Mult.: DCO=0.58 23.
193.7 3	4 2	779.48+y	17/2 <sup>-</sup>	585.79+y	15/2 <sup>-</sup>		
194.5 2	15 3	261.3	(7/2 <sup>-</sup> )	66.8	(3/2 <sup>-</sup> )		
199.1 2	55 5	285.8	9/2 <sup>-</sup>	86.7	5/2 <sup>-</sup>	Q	Mult.: DCO=1.51 13.

Continued on next page (footnotes at end of table)

$^{155}\text{Gd}(^{32}\text{S},4n\gamma) E=159\text{ MeV}$  **1995La10** (continued) $\gamma(^{183}\text{Hg})$  (continued)

$E_\gamma$	$I_\gamma$	$E_i(\text{level})$	$J_i^\pi$	$E_f$	$J_f^\pi$	Mult. <sup>†</sup>	Comments
213.2 4	2 1	993.0+y	19/2 <sup>-</sup>	779.48+y	17/2 <sup>-</sup>		
226.4 4	1 1	1219.5+y	21/2 <sup>-</sup>	993.0+y	19/2 <sup>-</sup>		
251.6 2	74 8	251.57+y	11/2 <sup>-</sup>	0.0+y	7/2 <sup>-</sup>		Mult.: DCO=1.21 25; A <sub>2</sub> =+0.20 22.
252.7 3	16 4	354.27+x	15/2 <sup>+</sup>	101.6+x	(11/2 <sup>+</sup> )		Mult.: DCO=1.4 5; A <sub>2</sub> =+0.3 4.
257 <sup>‡</sup>	<1	542.2	(11/2 <sup>-</sup> )	101.6+x	(11/2 <sup>+</sup> )		
271.5 2	16 3	700.95+x	19/2 <sup>+</sup>	429.33+x	17/2 <sup>+</sup>	D+Q	Mult.: DCO=0.60 9; A <sub>2</sub> =-0.39 19.
280.9 2	13 3	542.2	(11/2 <sup>-</sup> )	261.3	(7/2 <sup>-</sup> )		
291.4 2	38 4	577.2	13/2 <sup>-</sup>	285.8	9/2 <sup>-</sup>	Q	Mult.: DCO=1.34 17; A <sub>2</sub> =+0.27 18.
302.0 2	58 5	406.93+y	13/2 <sup>-</sup>	104.93+y	9/2 <sup>-</sup>	Q	Mult.: DCO=1.25 20; A <sub>2</sub> =+0.33 24.
303.4 2	5 2	1136.55+x	23/2 <sup>+</sup>	833.04+x	21/2 <sup>+</sup>	D+Q	Mult.: DCO=0.66 16.
329 <sup>‡</sup>	<1	906.2	(15/2 <sup>-</sup> )	577.2	13/2 <sup>-</sup>		
334.3 2	55 7	585.79+y	15/2 <sup>-</sup>	251.57+y	11/2 <sup>-</sup>	Q	Mult.: DCO=1.34 23; A <sub>2</sub> =+0.30 9.
346.8 2	36 9	700.95+x	19/2 <sup>+</sup>	354.27+x	15/2 <sup>+</sup>	Q	Mult.: DCO=1.46 23.
354.4 2	20 6	354.27+x	15/2 <sup>+</sup>	0.0+x	13/2 <sup>+</sup>	D+Q	Mult.: DCO=0.20 11; A <sub>2</sub> =-0.7 5.
364.0 2	12 3	906.2	(15/2 <sup>-</sup> )	542.2	(11/2 <sup>-</sup> )		
372.5 2	44 4	779.48+y	17/2 <sup>-</sup>	406.93+y	13/2 <sup>-</sup>	Q	Mult.: DCO=1.29 20; A <sub>2</sub> =+0.33 25.
376.0 2	38 4	953.2	17/2 <sup>-</sup>	577.2	13/2 <sup>-</sup>	Q	Mult.: DCO=1.34 17; A <sub>2</sub> =+0.30 21.
403.7 2	80 7	833.04+x	21/2 <sup>+</sup>	429.33+x	17/2 <sup>+</sup>	(Q)	Mult.: DCO=1.26 13; A <sub>2</sub> =+0.11 14.
407.2 2	32 6	993.0+y	19/2 <sup>-</sup>	585.79+y	15/2 <sup>-</sup>	Q	Mult.: DCO=1.15 16; A <sub>2</sub> =+0.50 26.
429.2 2	100 8	429.33+x	17/2 <sup>+</sup>	0.0+x	13/2 <sup>+</sup>	Q	Mult.: DCO=1.43 14; A <sub>2</sub> =+0.27 9.
435.7 2	15 2	1136.55+x	23/2 <sup>+</sup>	700.95+x	19/2 <sup>+</sup>	(Q)	Mult.: A <sub>2</sub> =+0.23 12.
438.8 3	11 3	1345.0	(19/2 <sup>-</sup> )	906.2	(15/2 <sup>-</sup> )		
440.0 2	33 4	1219.5+y	21/2 <sup>-</sup>	779.48+y	17/2 <sup>-</sup>	Q	Mult.: DCO=1.53 27; A <sub>2</sub> =+0.37 14.
451.4 2	26 4	1404.6	21/2 <sup>-</sup>	953.2	17/2 <sup>-</sup>	Q	Mult.: DCO=1.9 3; A <sub>2</sub> =+0.40 18.
454.3 2	65 5	1287.3+x	25/2 <sup>+</sup>	833.04+x	21/2 <sup>+</sup>	Q	Mult.: DCO=1.58 18; A <sub>2</sub> =+0.27 17.
472.8 2	24 4	1465.8+y	23/2 <sup>-</sup>	993.0+y	19/2 <sup>-</sup>	Q	Mult.: DCO=1.45 25; A <sub>2</sub> =+0.25 19.
501.4 2	24 3	1720.9+y	25/2 <sup>-</sup>	1219.5+y	21/2 <sup>-</sup>	Q	Mult.: DCO=1.6 3.
503.9 3	6 1	1848.9	(23/2 <sup>-</sup> )	1345.0	(19/2 <sup>-</sup> )		
513.2 2	8 3	1649.8+x	27/2 <sup>+</sup>	1136.55+x	23/2 <sup>+</sup>		Mult.: DCO=1.28 22.
516.8 2	18 3	1921.4	25/2 <sup>-</sup>	1404.6	21/2 <sup>-</sup>		Mult.: DCO=1.29 19; A <sub>2</sub> =+0.0 3.
521.3 2	38 4	1808.6+x	29/2 <sup>+</sup>	1287.3+x	25/2 <sup>+</sup>	Q	Mult.: DCO=1.49 18; A <sub>2</sub> =+0.20 24.
531.9 2	16 3	1997.7+y	27/2 <sup>-</sup>	1465.8+y	23/2 <sup>-</sup>		Mult.: DCO=1.2 3; A <sub>2</sub> =+0.27 26.
555.8 2	23 3	2276.7+y	29/2 <sup>-</sup>	1720.9+y	25/2 <sup>-</sup>	Q	Mult.: DCO=1.42 25.
559.7 3	8 2	2408.6	(27/2 <sup>-</sup> )	1848.9	(23/2 <sup>-</sup> )		
570.5 3	11 2	2491.9	29/2 <sup>-</sup>	1921.4	25/2 <sup>-</sup>		Mult.: DCO=1.3 3.
581.9 3	5 2	2231.7+x	31/2 <sup>+</sup>	1649.8+x	27/2 <sup>+</sup>		Mult.: DCO=1.3 4; A <sub>2</sub> =+0.5 5.
583.0 2	33 3	2391.6+x	33/2 <sup>+</sup>	1808.6+x	29/2 <sup>+</sup>		Mult.: DCO=1.27 21.
585.1 2	13 3	2582.8+y	31/2 <sup>-</sup>	1997.7+y	27/2 <sup>-</sup>		Mult.: DCO=1.4 3.
602.8 3	15 3	2879.5+y	33/2 <sup>-</sup>	2276.7+y	29/2 <sup>-</sup>	Q	Mult.: DCO=1.5 3.
610.1 3	10 2	3102.0	33/2 <sup>-</sup>	2491.9	29/2 <sup>-</sup>	Q	Mult.: DCO=2.0 8.
613.6 4	3 1	3022.2	(31/2 <sup>-</sup> )	2408.6	(27/2 <sup>-</sup> )		
623.8 6	5 2	3725.8	(37/2 <sup>-</sup> )	3102.0	33/2 <sup>-</sup>		
631.2 3	8 3	3214.0+y	(35/2 <sup>-</sup> )	2582.8+y	31/2 <sup>-</sup>		
637.6 3	12 2	3029.2+x	(37/2 <sup>+</sup> )	2391.6+x	33/2 <sup>+</sup>		Mult.: DCO=1.3 3.
640.5 4	8 2	3520.0+y	(37/2 <sup>-</sup> )	2879.5+y	33/2 <sup>-</sup>		Mult.: DCO=1.2 4.
641.3 4	3 1	2873.0+x	(35/2 <sup>+</sup> )	2231.7+x	31/2 <sup>+</sup>		
668.4 4	4 2	3882.4+y	(39/2 <sup>-</sup> )	3214.0+y	(35/2 <sup>-</sup> )		
683.5 4	4 2	3712.7+x	(41/2 <sup>+</sup> )	3029.2+x	(37/2 <sup>+</sup> )		
692.2 6	1 1	3565.2+x	(39/2 <sup>+</sup> )	2873.0+x	(35/2 <sup>+</sup> )		
723.1 6	2 1	4435.8+x	(45/2 <sup>+</sup> )	3712.7+x	(41/2 <sup>+</sup> )		

<sup>†</sup> Assigned by evaluator based on measured  $\gamma(\theta)$  and/or DCO ratios. **1995La10** expect DCO ratios of  $\approx 1.4$  and  $1.0$  for stretched Q (or D  $\Delta J=0$ ) transitions and pure stretched D transitions, respectively. They assign Q transitions As E2, D transitions As M1,E2;

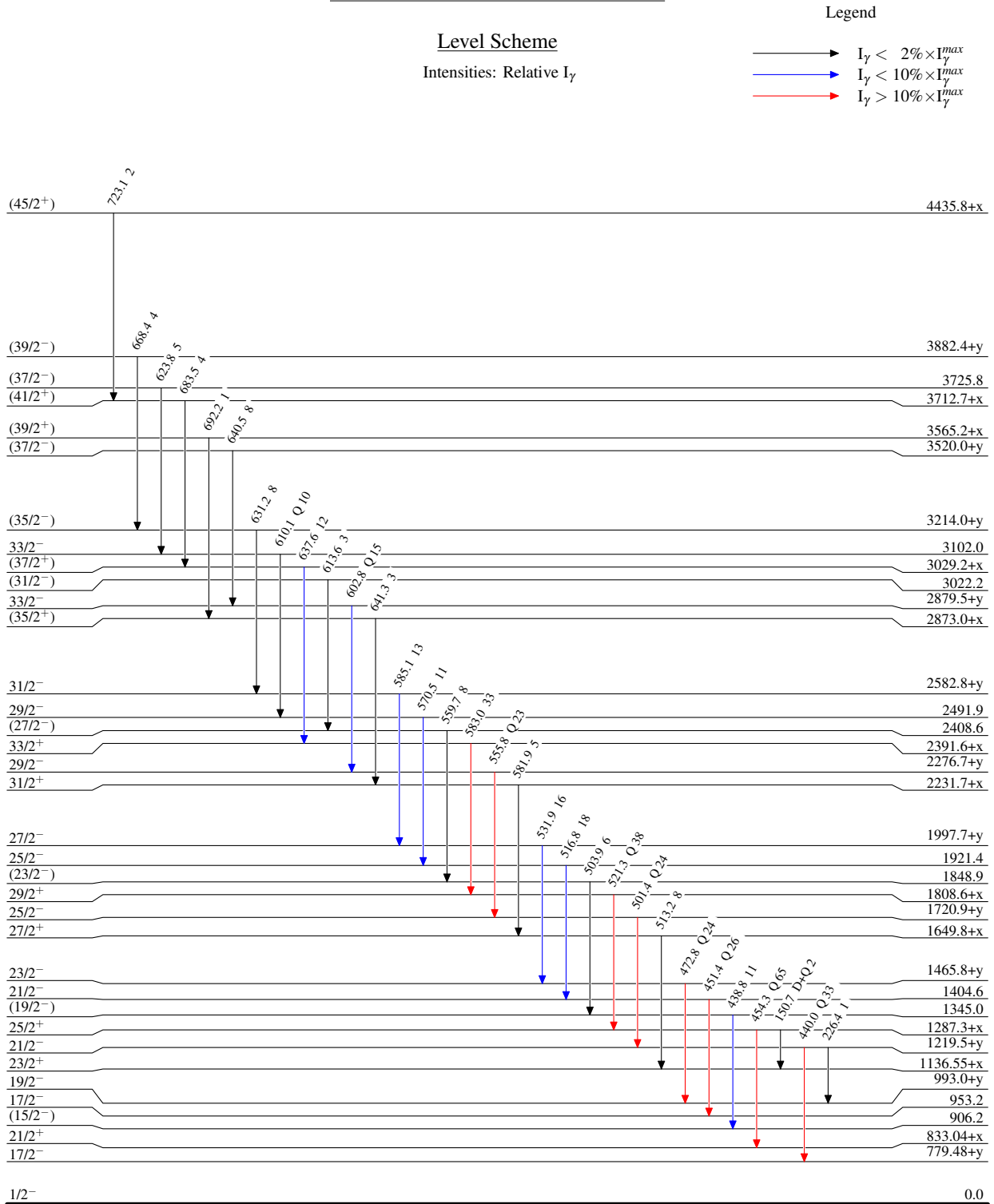
---

$^{155}\text{Gd}(^{32}\text{S},4n\gamma) E=159 \text{ MeV}$  [1995La10](#) (continued)

$\gamma(^{183}\text{Hg})$  (continued)

see [1995La10](#) for authors' suggested assignments based on  $\gamma(\theta)$  or DCO, if available, and on deduced level scheme.

‡ Placement of transition in the level scheme is uncertain.

$^{155}\text{Gd}(^{32}\text{S},4n\gamma) E=159\text{ MeV}$  1995La10

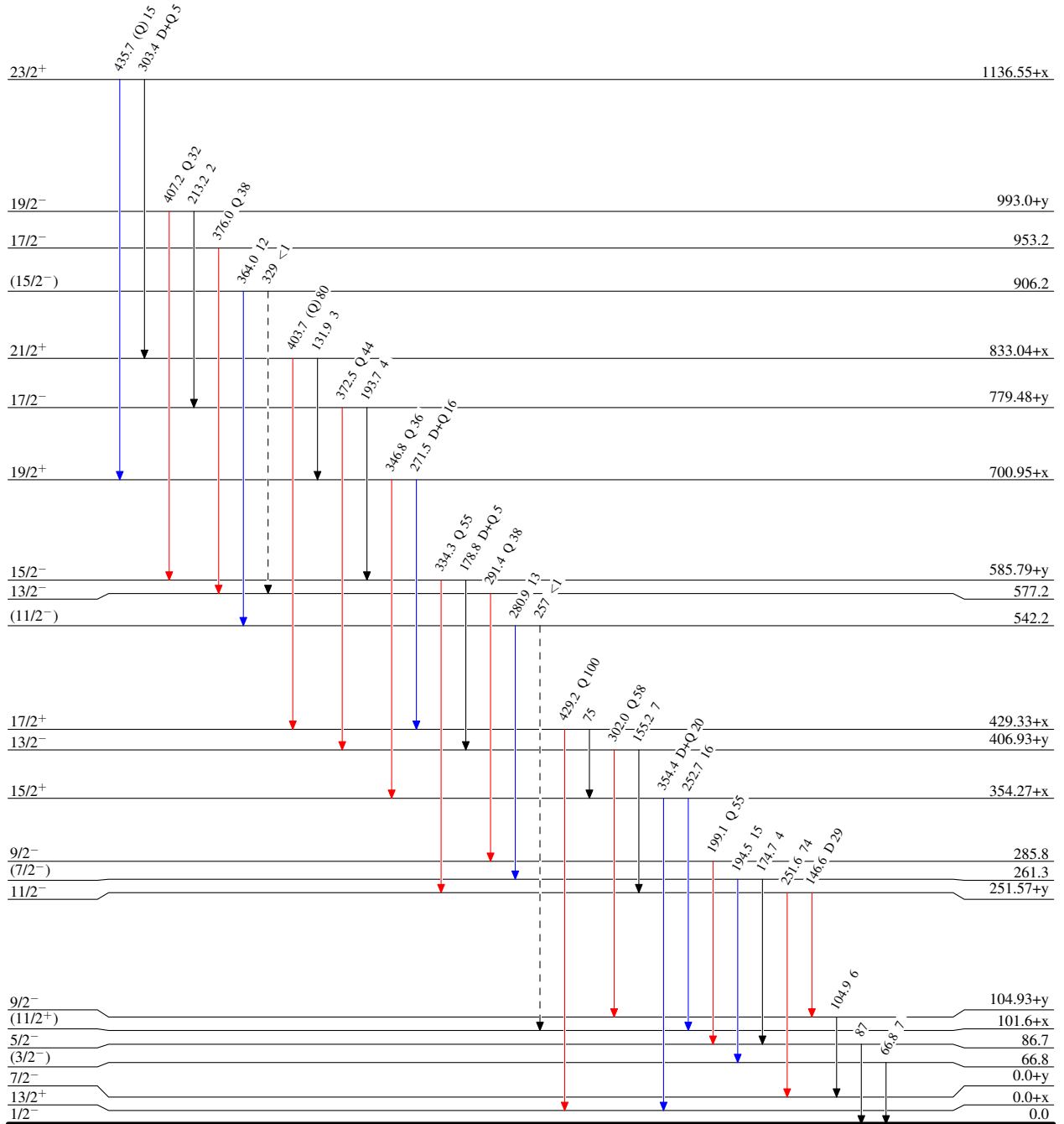
$^{155}\text{Gd}(^{32}\text{S},4n\gamma) E=159\text{ MeV}$  **1995La10**

Legend

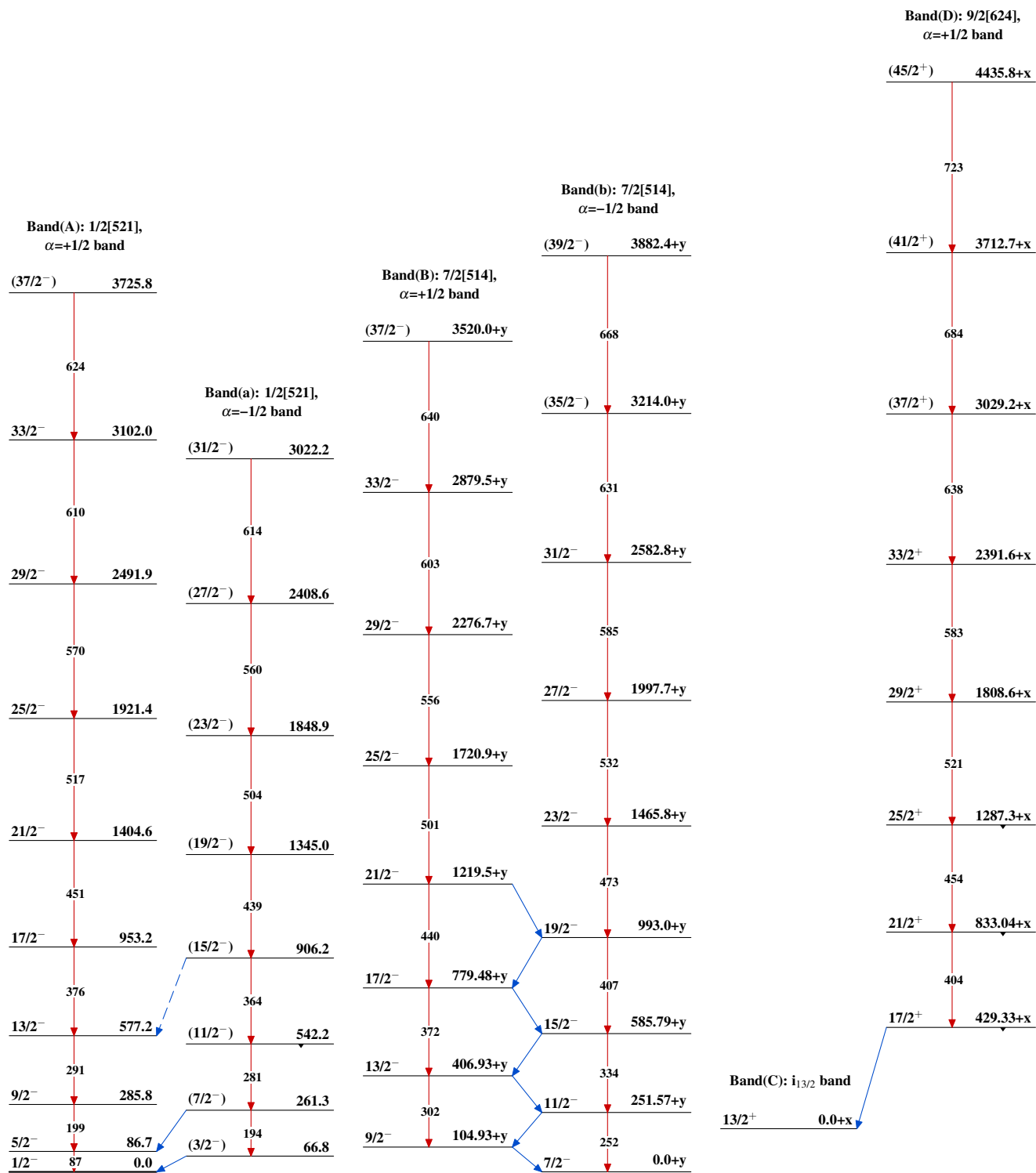
Level Scheme (continued)

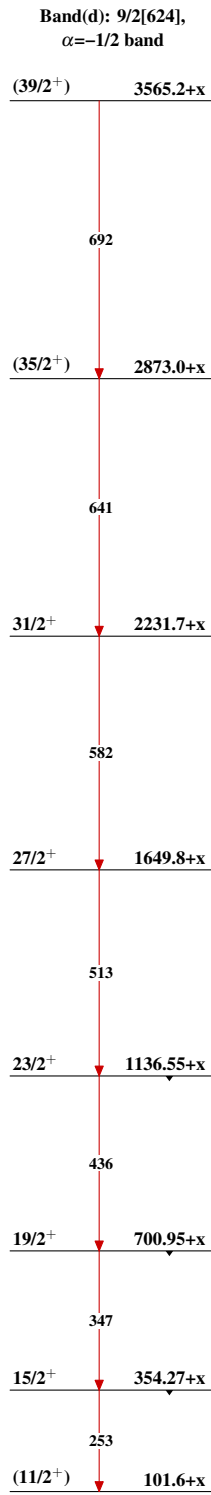
Intensities: Relative  $I_\gamma$

- $\longrightarrow$   $I_\gamma < 2\% \times I_\gamma^{\text{max}}$
- $\longrightarrow$   $I_\gamma < 10\% \times I_\gamma^{\text{max}}$
- $\longrightarrow$   $I_\gamma > 10\% \times I_\gamma^{\text{max}}$
- $\dashrightarrow$   $\gamma$  Decay (Uncertain)



$^{183}_{80}\text{Hg}_{103}$

$^{155}\text{Gd}(^{32}\text{S},4n\gamma) E=159\text{ MeV}$  1995La10 $^{183}_{80}\text{Hg}_{103}$

$^{155}\text{Gd}(^{32}\text{S},4\text{n}\gamma) E=159\text{ MeV}$  1995La10 (continued) $^{183}_{80}\text{Hg}_{103}$